

## ОБ ЭНЕРГЕТИЧЕСКИ ЭФФЕКТИВНЫХ РЕЖИМАХ ДВИЖЕНИЯ МОБИЛЬНЫХ РОБОТОВ С ОРТОГОНАЛЬНЫМИ ШАГАЮЩИМИ ДВИЖИТЕЛЯМИ ПРИ ПРЕОДОЛЕНИИ ПРЕПЯТСТВИЙ<sup>1</sup>

© 2020 г. Е. С. Брискин<sup>a,b,\*</sup>, Я. В. Калинин<sup>a,b</sup>, М. В. Мирошкина<sup>a</sup>

<sup>a</sup> Волгоградский государственный технический ун-т, Волгоград, Россия

<sup>b</sup> Университет Иннополис, Иннополис, Россия

\*e-mail: dtm@vstu.ru

Поступила в редакцию 20.05.2019 г.

После доработки 07.08.2019 г.

Принята к публикации 30.09.2019 г.

Рассматриваются особенности управления движением шагающего робота с ортогональными движителями при преодолении препятствий. Сформулирована задача согласованного управления приводами горизонтального и вертикального перемещения для реализации режима движения, обеспечивающего оптимальность по заданному критерию. Критерием оптимальности выбран минимум тепловых потерь в приводных двигателях. Приводится методика решения поставленной задачи и результаты моделирования.

DOI: 10.31857/S0002338820010035

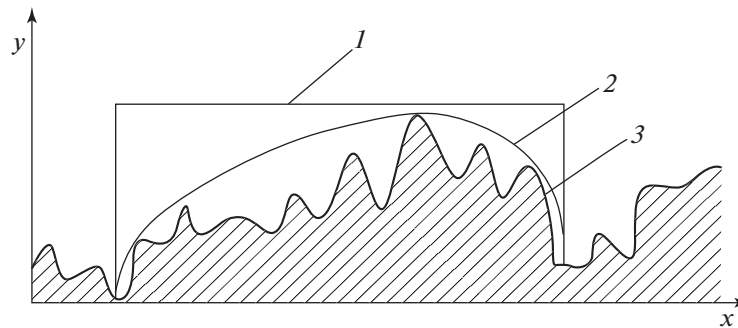
**Введение.** Мобильные роботы с шагающими движителями обладают возможностью бесконтактного преодоления препятствий, что является одной из особенностей таких машин [1–4]. В 70–80-е гг. прошлого столетия профессором Н.В. Умновым [1, 5] был предложен вид траектории переноса шагающего движителя (рис. 1). Такой вид предложенной траектории можно объяснить неразвитостью информационно-измерительных систем и необходимостью организовывать взаимодействие стоп движителей с опорной поверхностью без проскальзывания по ней независимо от ее профиля. Но при наличии информации о профиле опорной поверхности и на основе выбираемых показателей качества движения, например, минимума тепловых потерь в приводных двигателях, минимума среднеквадратического ускорения стопы, минимума пройденного пути и др. [6, 7], можно изменять законы движения стопы. По сочетаниям показателей могут быть определены границы парето-оптимальных режимов движения [8] для комплексного показателя качества.

Известны методы преодоления запрещенных зон за счет управления походкой [9] для шагающих машин с цикловыми движителями. С точки зрения энергоэффективности, для роботов рассмотрены задачи оптимального управления горизонтальным движением движителей при их переносе из одного положения в другое. Показано, что по критерию минимума тепловых потерь в приводных двигателях выгодно или использовать рекуператоры энергии [10, 11], или отказаться от равномерного движения корпуса робота [12] и применять его в качестве рекуператора. Это подтверждается и исследованиями динамики движения двуногого робота [13].

Для шагающих роботов с ортогональными движителями рассмотрена задача вертикального перемещения стопы движителя и ее переноса в новое положение [14] в соответствии с комплексным критерием качества движения.

Однако задача движения стопы шагающего движителя одновременно в горизонтальном и вертикальном направлениях с точки зрения удовлетворения выбранным показателям качества движения не рассматривалась. Также не рассматривалась задача об определении оптимального по тому или иному критерию движения стопы с ее подъемом и опусканием на опорную поверхность при наличии препятствий.

<sup>1</sup> Работа выполнена при финансовой поддержке РФФ (проект № 18-71-10069).



**Рис. 1.** Траектория переноса стопы движителя: 1 – абсолютная траектория по Н.В. Умнову; 2 – возможная траектория; 3 – профиль опорной поверхности



**Рис. 2.** Шагающий робот “Ортоног”

**1. Постановка задачи.** Рассматривается поступательное с постоянной скоростью корпуса движение робота с ортогональными шагающими движителями, например шагающего робота “Ортоног” [15] (рис. 2). Профиль опорной поверхности, характеризуемый расстоянием  $S$  от стопы, вступающей в фазу переноса до препятствия в форме выступа высотой  $H$ , расстоянием  $L$  до места ее постановки на высоте  $h$  от начального уровня (рис. 3), считается известным, например по данным информационно-измерительной системы робота. В каждый момент времени в переносе находится один из движителей массы  $m$ .

Для решения задачи составляются дифференциальные уравнения движения стопы массы  $m$  в горизонтальном и вертикальном направлениях и уравнение, описывающее равномерное поступательное движение корпуса робота:

$$\begin{cases} m\ddot{x} = P, \\ m\ddot{y} = T - mg, \\ 0 = F - Q - P, \end{cases} \quad (1.1)$$

где  $x$ ,  $y$  – соответственно горизонтальная и вертикальная координаты стопы движителя в абсолютном движении,  $g$  – ускорение свободного падения,  $Q$  – сила сопротивления движению робота, обусловленная, например, крюковой нагрузкой и т.п. [16, 17];  $F$  – сила, развиваемая приводом курсового движения, обеспечивающая движение корпуса,  $P$  – сила, обеспечивающая горизонтальное перемещение переносимой стопы,  $T$  – сила, развиваемая приводом вертикального перемещения стопы.

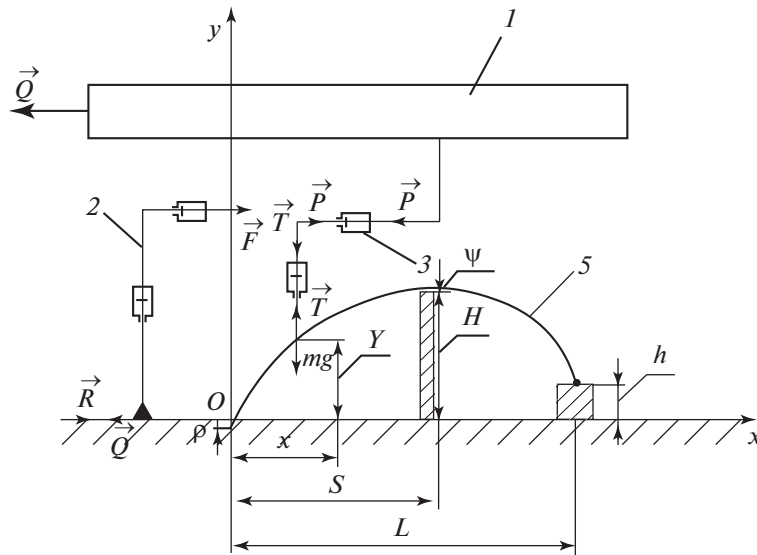


Рис. 3. Расчетная схема движения робота

Формируется показатель качества, характеризующий тепловые потери в приводных двигателях на единицу пути, определяемый выражением

$$A = \alpha \int_0^{\tau} (F^2 + P^2) dt + \beta \int_0^{\tau} T^2 dt, \tag{1.2}$$

где  $\tau$  – время переноса стопы;  $\alpha, \beta$  – известные характеристики двигателей горизонтального и вертикального перемещений соответственно.

Ставится задача определения таких законов движения стопы по горизонтали  $x(t)$  и вертикали  $y(t)$ , которые обеспечат как преодоление препятствий и безударное взаимодействие переносимой стопы с опорной поверхностью, так и минимум тепловых потерь  $A$ .

**2. Метод решения.** Метод решения поставленной задачи основан на “разбиении движения” на два этапа с введением управляющих параметров ( $U$  – горизонтальная скорость стопы при прохождении над препятствием и  $\tau_1$  – время прохождения стопы над препятствием):

первый этап соответствует подъему стопы на участке до препятствия:

$$\begin{aligned} 0 < t < \tau_1, \quad x(0) = 0, \quad \dot{x}(0) = 0, \quad y(0) = 0, \quad \dot{y}(0) = 0, \\ x(\tau_1) = S, \quad \dot{x}(\tau_1) = U, \quad y(\tau_1) = \chi, \quad \dot{y}(\tau_1) = \eta, \end{aligned} \tag{2.1}$$

второй этап соответствует опусканию стопы на участке после препятствия:

$$\begin{aligned} 0 < t < \tau - \tau_1, \quad x(0) = 0, \quad \dot{x}(0) = U, \quad y(0) = \chi, \quad \dot{y}(0) = \eta, \\ x(\tau - \tau_1) = L - S, \quad \dot{x}(\tau - \tau_1) = 0, \quad y(\tau - \tau_1) = h, \quad \dot{y}(\tau - \tau_1) = 0, \end{aligned} \tag{2.2}$$

где  $\chi = H + \rho + \psi$  – величина подъема стопы, складывающаяся из высоты препятствия  $H$ , величины нормальной деформации грунта  $\rho$  и величины гарантированного запаса  $\psi$ ;  $\eta$  – вертикальная составляющая скорости стопы при прохождении над препятствием. Полное время шага  $\tau$  в (2.1), (2.2) определяется его длиной  $L$  по следовой дорожке и скоростью робота  $V$  и для шагающих роботов с движителями на основе сдвоенных механизмов шагания [15]:

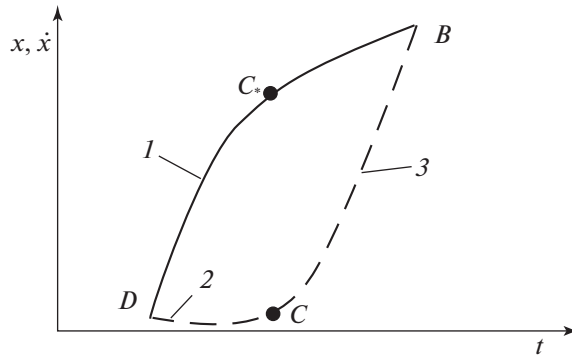
$$\tau = \frac{L}{2V}. \tag{2.3}$$

На каждом из этапов составляются уравнения Эйлера-Пуассона [18] для двух вариационных задач:

$$\delta I_1 = \delta \int_0^{\tau} \Phi_1 dt = 0; \quad \delta I_2 = \delta \int_0^{\tau - \tau_1} \Phi_2 dt = 0, \tag{2.4}$$

где  $\delta$  – символ изохронной вариации,  $\Phi_j$  – функция, зависящая от  $\dot{x}_j$  и  $\dot{y}_j$ :

$$\Phi_j = \alpha [(m\dot{x}_j + Q)^2 + (m\dot{y}_j)^2] + \beta (m\dot{y}_j + mg)^2, \quad j = 1, 2. \tag{2.5}$$



**Рис. 4.** Разбиение режима движения на два этапа;  $D, B$  – начальная и конечная точки фазовых координат;  $1$  – оптимальный режим на  $DB$ ;  $2, 3$  – оптимальные режимы на  $DC_*$  и  $C_*B$  соответственно

В общем случае, после решения двух оптимизационных задач (2.4) и вычисления критерия качества по (1.2), его необходимо минимизировать по параметрам  $\tau_1, U, \psi$  и  $\eta$ . В решаемой задаче  $\psi$  и  $\eta$  принимаются равными нулю:  $\psi = \eta = 0$ .

Разбиение изучаемого движения на два этапа и определение оптимального режима на каждом из них не гарантирует оптимальности в целом на двух этапах. Однако выбором управляющих воздействий  $\tau_1$  и  $U$  этого можно добиться. Действительно, если существует в соответствии с введенным критерием оптимальности режим движения  $x_*(t), \dot{x}_*(t)$ , который условно представлен в фазовых координатах  $x, \dot{x}$  на рис. 4 кривой  $DB$ , то, выбрав произвольно управляющие параметры (точку  $C$ ), можно обеспечить лишь оптимальность на кривых  $DC$  и  $CB$ .

В случае если точку  $C$  выбрать на кривой  $DB$  (точка  $C_*$ ), то оптимальность режимов  $DC_*$  и  $C_*B$  приведет к оптимальности (в решаемой задаче – минимуму функционала  $A$ ) на всем режиме  $DB$ . Поэтому после определения оптимальных режимов  $DC$  и  $CB$  следует определить такую точку  $C_*$  (управляющие параметры  $\tau_1$  и  $U$ ), для которой исследуемый функционал будет минимальным.

Система уравнений Эйлера-Пуассона на каждом из этапов движения имеет форму

$$\begin{aligned} \frac{d^2}{dt^2} \left( \frac{\partial \Phi}{\partial \ddot{x}} \right) - \frac{d}{dt} \left( \frac{\partial \Phi}{\partial \dot{x}} \right) + \frac{\partial \Phi}{\partial x} &= 0, \\ \frac{d^2}{dt^2} \left( \frac{\partial \Phi}{\partial \ddot{y}} \right) - \frac{d}{dt} \left( \frac{\partial \Phi}{\partial \dot{y}} \right) + \frac{\partial \Phi}{\partial y} &= 0 \end{aligned} \quad (2.6)$$

и сводится к виду

$$\ddot{x} = 0; \quad \ddot{y} = 0. \quad (2.7)$$

Решение на каждом из  $j$  этапов ( $j=1, 2$ ) можно представить в виде

$$\begin{aligned} x_j &= x_{j0} + \dot{x}_{j0}t + C_j t^2 + D_j t^3, \\ y_j &= y_{j0} + \dot{y}_{j0}t + E_j t^2 + G_j t^3, \end{aligned} \quad (2.8)$$

где постоянные  $x_{j0}, \dot{x}_{j0}, C_j, D_j, y_{j0}, \dot{y}_{j0}, E_j, G_j$  определяются из начальных условий (2.1), (2.2):

$$\begin{aligned} x_{10} &= 0; \quad \dot{x}_{10} = 0; \quad C_1 = \frac{3S}{\tau_1^2} - \frac{U}{\tau_1}; \quad D_1 = \frac{U}{\tau_1^2} - \frac{2S}{\tau_1^3}; \\ y_{10} &= 0; \quad \dot{y}_{10} = 0; \quad E_1 = \frac{3\chi}{\tau_1^2}; \quad G_1 = -\frac{2\chi}{\tau_1^3}; \\ x_{20} &= 0; \quad \dot{x}_{20} = U; \quad C_2 = \frac{3(L-S)}{(\tau - \tau_1)^2} - \frac{2U}{\tau - \tau_1}; \quad D_2 = \frac{U}{(\tau - \tau_1)^2} - \frac{2(L-S)}{(\tau - \tau_1)^3}; \\ y_{20} &= H; \quad \dot{y}_{20} = 0; \quad E_2 = \frac{3(h-\chi)}{(\tau - \tau_1)^2}; \quad G_2 = -\frac{2(h-\chi)}{(\tau - \tau_1)^3}. \end{aligned} \quad (2.9)$$

Характерной особенностью полученных уравнений (2.7) и их решений является независимость от массово-геометрических параметров роботов с шагающими движителями, за исключением длины шага  $L$ .

При подстановке (2.9) в (2.8) определяется показатель качества (1.2):

$$A = \int_0^{\tau_1} \{\alpha[(m\ddot{x}_1 + Q)^2 + (m\dot{x}_1)^2] + \beta(m\ddot{y}_1 + mg)^2\} dt + \int_0^{\tau - \tau_1} \{\alpha[(m\ddot{x}_2 + Q)^2 + (m\dot{x}_2)^2] + \beta(m\ddot{y}_2 + mg)^2\} dt. \quad (2.10)$$

Предложенный метод и разработанная математическая модель позволяют проводить достаточно большой комплекс исследований, определять влияние внешних геометрических характеристик опорной поверхности и параметров, характеризующих движение робота на выбранный показатель качества — тепловые потери в приводных двигателях на единицу пути. Действительно, задание или определение информационно-измерительной системой величины подъема стопы  $\chi$ , связанной с высотой преодолеваемого препятствия  $H$ , физико-механическими свойствами грунта и величиной гарантированного запаса  $\psi$ , положения препятствия относительно первоначального положения стопы  $S$ , уровня  $h$  опускания переносимой стопы на длине шага  $L$ , характеризует профиль опорной поверхности, который оказывает влияние на показатель качества (2.10). Задание этих параметров происходит со стороны информационно-измерительной системы робота в виде

$$\chi = \theta L, \quad S = \mu L, \quad h = \sigma L, \quad (2.11)$$

где  $\theta, \mu, \sigma$  — безразмерные параметры, определяемые на основе данных сканирования местности.

Сила сопротивления движению  $Q$  задается из (1.2) также в безразмерном виде с коэффициентом пропорциональности силе тяжести  $\xi$ :

$$Q = \xi G, \quad (2.12)$$

где  $G$  — вес робота.

На показатель качества имеет влияние и характер движения переносимой стопы, что оценивается временем  $\tau_1$  и горизонтальной скоростью стопы  $U$  в момент ее нахождения над препятствием. Эти параметры являются управляющими воздействиями (2.1), (2.2), которые удобно представлять в безразмерной форме

$$\tau_1 = \varepsilon \tau, \quad U = \gamma V, \quad (2.13)$$

где  $\varepsilon, \gamma$  — безразмерные параметры системы управления робота.

Учитываются и параметры приводных двигателей  $\alpha, \beta$ , влияющие на тепловые потери. Для двигателей постоянного тока с последовательным возбуждением эти параметры пропорциональны активному сопротивлению обмоток [19]. Для других видов двигателей имеют место зависимости, отличные от (2.2) [20].

В совокупности безразмерные параметры совместно с реальными физическими параметрами (скоростью  $U$ , длиной шага  $L$  и массой движителя  $m$ ) позволяют на практике определять энергетическую эффективность процесса переноса движителей — тепловые потери в приводных двигателях на единицу пути:

$$A = A(V, L, m, \alpha, \beta, \theta, \mu, \sigma, \xi, \varepsilon, \gamma). \quad (2.14)$$

Выявление вида функции (2.14) составляет самостоятельную задачу и имеет важный практический смысл. Определяя эту функцию для конкретного робота, перемещающегося в конкретных эксплуатационных условиях, в результате решения задачи на минимум можно реализовать оптимальный режим движения.

**3. Модельная задача энергоэффективного управления роботом “Ортоног”.** Рассматривается поступательное перемещение шагающего робота “Ортоног” с прямолинейным движением его центра масс вдоль горизонтальной оси с постоянной скоростью. Длина шага  $L = 0.91$  м, а масса переносимого механизма шагания  $m = 70$  кг. Робот перемещается по горизонтальной деформируемой поверхности ( $h = 0$ ), характеризуемой безразмерным параметром  $\xi$ , который задает раз-

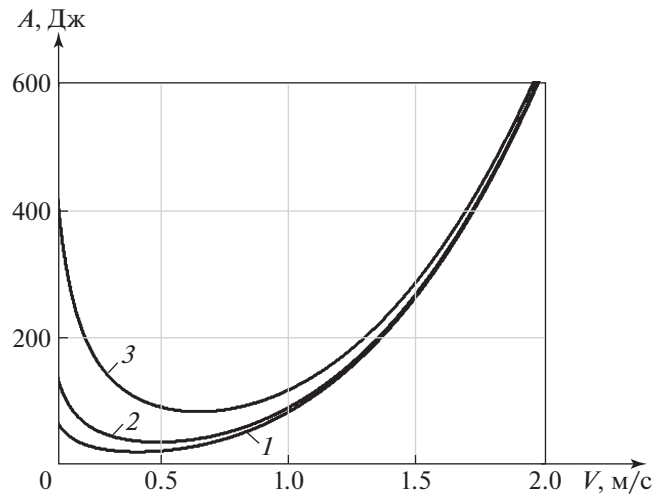


Рис. 5. Графики зависимости тепловых потерь  $A$  на единицу пути от скорости  $V$  при различных силах  $Q$ : 1 –  $Q = 500$  Н; 2 –  $Q = \pm 1000$  Н; 3 –  $Q = 2000$  Н

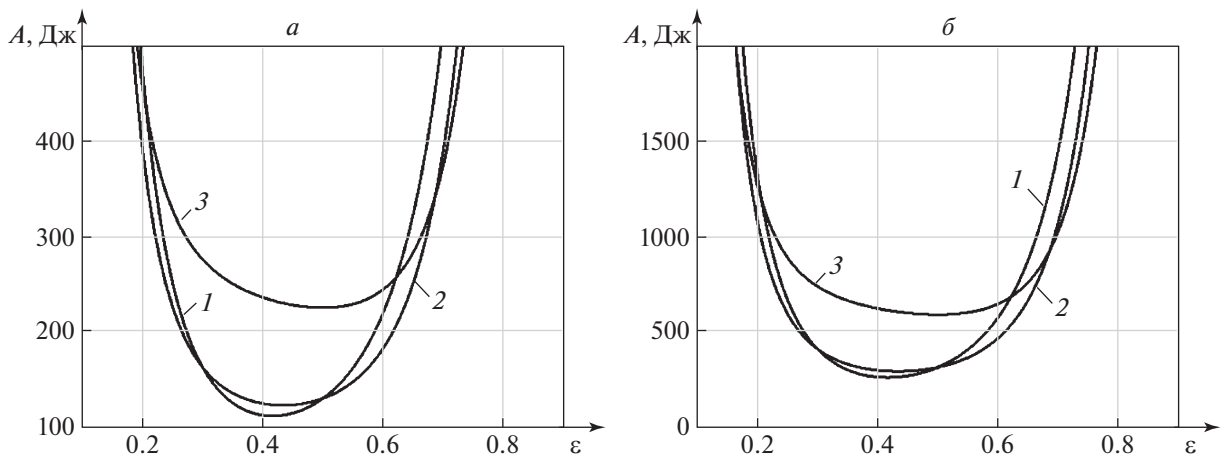


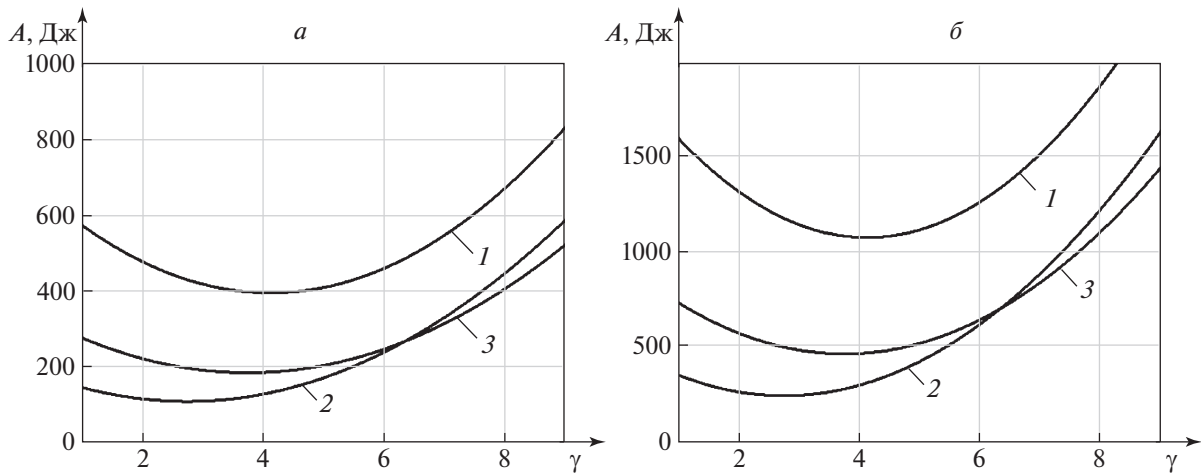
Рис. 6. График зависимости тепловых потерь  $A$  на единицу пути от значения безразмерного параметра  $\varepsilon$  ( $\tau_1 = \varepsilon \cdot \tau$ ) при различных значениях безразмерного параметра  $\gamma$  ( $U = \gamma \cdot V$ ): а –  $V = 0.7$  м/с; б –  $V = 1$  м/с; 1 –  $\gamma = 2$ ; 2 –  $\gamma = 4$ ; 3 –  $\gamma = 6$

личные силы сопротивления. Профиль опорной поверхности (рис. 3) описывается безразмерными параметрами  $\theta = 0.3$ ,  $\mu = 0.2$ ,  $\sigma = 0$ . В реальных условиях это нерегулируемые параметры.

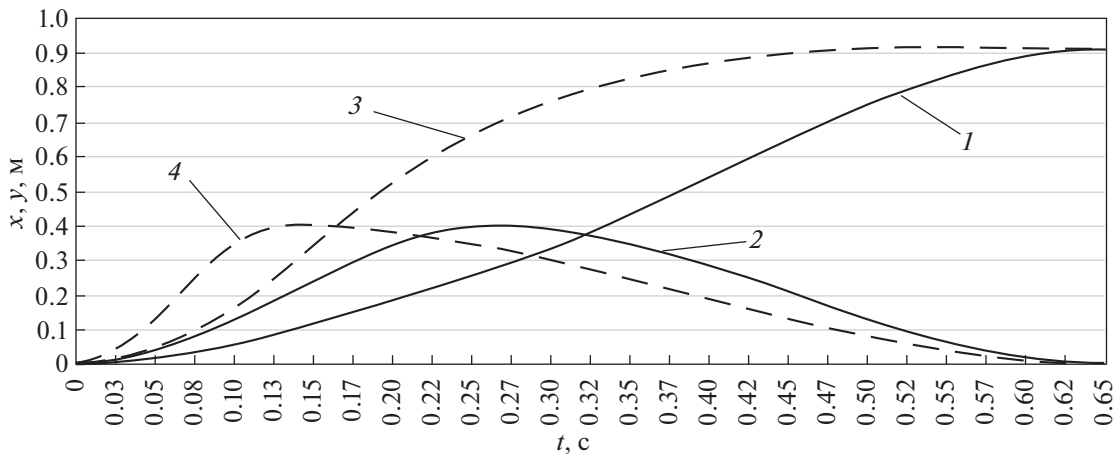
Таким образом, целью решения модельной задачи является апробация метода определения безразмерных параметров управляющих воздействий  $\varepsilon$  и  $\gamma$ , обеспечивающих оптимальность движения робота по критерию минимума энергозатрат. На графиках (рис. 5–7) представлены соответствующие зависимости тепловых потерь на единицу пути  $A$  при  $\alpha = \beta = 0.0001$  (это возможно при использовании одинаковых двигателей в приводах подъема и курсового перемещения, но в итоге если они одинаковые, то эти параметры не влияют на конечный результат) от скорости движения  $V$ , силы сопротивления движению  $\xi$ , управляющих воздействий  $\varepsilon$  и  $\gamma$ .

Характерная особенность всех полученных зависимостей состоит в наличии режимов, обеспечивающих минимум тепловых потерь.

Так, на графиках (рис. 5) устанавливается зависимость тепловых потерь на единицу пути  $A$  от скорости движения центра масс корпуса робота при  $\varepsilon = 0.3$  и  $\gamma = 4$ . Известно, что неуравновешенность шагающего движителя является причиной роста тепловых потерь в двигателях, пропорциональных квадрату скорости [10, 12]. Однако наличие постоянной силы сопротивления



**Рис. 7.** График зависимости тепловых потерь  $A$  на единицу пути от безразмерного параметра  $\gamma$  ( $U = \gamma \cdot V$ ) при различных значениях безразмерного параметра  $\epsilon$  ( $\tau_1 = \epsilon \cdot \tau$ ):  $a - V = 0.7$  м/с;  $b - V = 1$  м/с;  $1 - \epsilon = 0.2$ ;  $2 - \epsilon = 0.4$ ;  $3 - \epsilon = 0.6$



**Рис. 8.** Графики зависимости перемещения стопы переносимого механизма шагания при различных законах управления и скорости робота  $V = 0.7$  м/с:  $1 -$  координата  $x$  при  $\epsilon = 0.4$  и  $\gamma = 2$  (оптимальный закон движения);  $2 -$  координата  $y$  при  $\epsilon = 0.4$  и  $\gamma = 2$  (оптимальный закон движения);  $3 -$  координата  $x$  при  $\epsilon = 0.2$  и  $\gamma = 6$  (неоптимальный закон движения);  $4 -$  координата  $y$  при  $\epsilon = 0.2$  и  $\gamma = 6$  (неоптимальный закон движения)

вызывает качественное изменение такой закономерности. При малых скоростях тепловые потери на единицу пути имеют тенденцию к снижению и лишь с ростом скорости они возрастают. В связи с этим каждой силе сопротивления соответствует своя оптимальная скорость, причем возрастающая с ростом силы сопротивления. Также интересным фактом является зависимость значений тепловых потерь только от модуля силы сопротивления и независимость от знака этой силы.

На тепловые потери в приводных двигателях на единицу пути влияет также и управление переносом, характеризуемое безразмерными параметрами  $\epsilon$  и  $\gamma$ .

Из графиков (рис. 6 и 7) следует, что управляющие воздействия влияют на тепловые потери на единицу пути и при их нерациональном выборе последние могут возрастать в несколько раз. Однако их оптимальные значения взаимосвязаны. На графиках (рис. 8) представлены зависимости движения стопы в соответствии с рис. 6,  $a$  при оптимальном ( $\epsilon = 0.4, \gamma = 2$ ) и неоптимальном ( $\epsilon = 0.2, \gamma = 6$ ) управлениях для робота, движущегося со скоростью  $V = 0.7$  м/с,  $\theta = 0.44, \mu = 0.2, \sigma = 0$ .

Анализ полученных зависимостей показывает, что отличие в координатах стопы может достигать 50–60%, а потери энергии для оптимального режима составляют 27% от неоптимального режима. Для произвольного режима эти отличия могут быть существенно больше.

**Заключение.** Сформулирован интегральный показатель, характеризующий качество законов переноса стопы с точки зрения минимума непродуцируемых тепловых потерь в приводных двигателях на единицу пути. Введены управляющие воздействия, обеспечивающие реализацию оптимального программного движения переноса движителя. Предложен метод определения закона переноса стопы ортогонального движителя, учитывающий геометрические свойства опорной поверхности и состоящий в разбиении режима движения на этапы с последующим определением управляющих воздействий. Учтены силы сопротивления движению и профиль грунта при формировании оптимального режима переноса движителя.

Установлены закономерности энергоэффективного переноса стопы шагающего движителя в новое положение для шагающего робота, совершающего поступательное движение. Выявлено влияние скорости движения робота на показатель качества, позволяющее для каждой опорной поверхности, характеризуемой ее геометрическими параметрами, и задаваемых сил сопротивления движению определять оптимальную по критерию минимума тепловых потерь в приводных двигателях на единицу пути скорость движения.

Практическая ценность результатов состоит в постановке задачи точного или приближенного определения функции тепловых потерь на единицу пути, что упрощает реализацию оптимального режима движения для конкретного робота в конкретных ситуациях.

#### СПИСОК ЛИТЕРАТУРЫ

1. *Артоболовский И.И., Умнов Н.В.* Некоторые проблемы создания шагающих машин // Вестн. АН СССР. 1969 № 2. С. 44.
2. *Охоцимский Д.Е., Голубев Ю.Ф.* Механика и управление движением автоматического шагающего аппарата. М.: Наука. Физматлит, 1984. 312 с.
3. *Брискин Е.С., Чернышев В.В., Малолетов А.В. и др.* Сравнительный анализ колесных, гусеничных и шагающих машин // Робототехника и техническая кибернетика. 2013. Т. 1. № 1. С. 6–14.
4. *Павловский В.Е.* О разработках шагающих машин // Препринт ИПМ им. М.В. Келдыша. 2013. № 101. С. 1–32.
5. *Гончаров С.И., Умнов Н.В.* О предельных скоростях движения шагающих машин // Теория механизмов и машин. 1988. № 44. С. 82.
6. *Жога В.В.* Система показателей качества шагающих транспортных машин // Справочник. Инженерный журнал с приложением. 1997. № 5. С. 52–54.
7. *Малолетов А.В., Брискин Е.С.* Оптимизация структуры, параметров и режимов движения шагающих машин со двояными движителями: монография. Волгоград: ВолгГТУ, 2015. 174 с.
8. *Соболь И.М., Статников Р.Б.* Выбор оптимальных параметров в задачах со многими критериями: учеб. пособие для вузов. М.: Дрофа, 2006.
9. *Брискин Е.С.* Об управлении походкой шагающей машины “Восьминог” // Мехатроника, автоматизация, управление. 2008. № 5. С. 6–10.
10. *Охоцимский Д.Е., Платонов А.К., Лапшин В.В.* Энергетика движения шестиногого шагающего аппарата // Изв. АН СССР. Техн. кибернетика. 1976. № 5. С. 42.
11. *Охоцимский Д.Е., Платонов А.К., Лапшин В.В.* Об одном способе рекуперации энергии при движении шагающего аппарата // Изв. АН СССР. МТТ. 1986. № 5. С. 67.
12. *Брискин Е.С., Калинин Я.В.* Об энергетически эффективных алгоритмах движения шагающих машин с цикловыми движителями // Изв. РАН. ТиСУ. 2011. № 2. С. 170–176.
13. *Белецкий В.В.* Динамика двуногой ходьбы // Изв. АН СССР. МТТ. 1975. № 3. С. 3–13.
14. *Брискин Е.С., Калинин Я.В., Малолетов А.В. и др.* Об управлении адаптацией ортогональных шагающих движителей к опорной поверхности // Изв. РАН. ТиСУ. 2017. № 3. С. 184–190.
15. *Брискин Е.С., Вершинина И.П., Малолетов А.В., Шаронов Н.Г.* Об управлении движением шагающей машины со двояными ортогонально-поворотными движителями // Изв. РАН. ТиСУ. 2014. № 3. С. 168.
16. *Гуськов В.В.* Тракторы. Теория. М.: Машиностроение, 1988. 376 с.
17. *Брискин Е.С., Соболев В.М.* Тяговая динамика шагающих машин с ортогональными движениями // Проблемы машиностроения и надежности машин. 1990. № 3. С. 28–34.
18. *Эльсгольц Л.Э.* Вариационное исчисление. М.: URSS, 2019. 208 с.
19. *Костенко М.П., Пиотровский Л.М.* Электрические машины. В 2-х ч. Ч. 1. Машины постоянного тока. Л.: Энергия, 1972. 543 с.
20. *Брискин Е.С., Калинин Я.В., Малолетов А.В., Чернышев В.В.* Об энергетической эффективности цикловых механизмов. Изв. РАН. МТТ. 2014. № 1. С. 18–25.